

так и при комнатной температуре (20°C). Магнитное поле $H = 1800$ – 2000 эрст. Оно достаточно для насыщения образца из армко-железа. Сжимающей средой является газ, не затвердевающий при 77°K и 2000 атм. В ^(1,2) для этой цели употребляли масло.

Схема установки дана на рис. 1. Испытуемый образец 1 — точечный стержень из армко-железа длиной 570 мм, диаметром $5,75$ мм*, лежит в камере 3 свободно (зазор между ним и внутренними стенками камеры составляет около $0,2$ мм), что позволяет сжимать образец все-

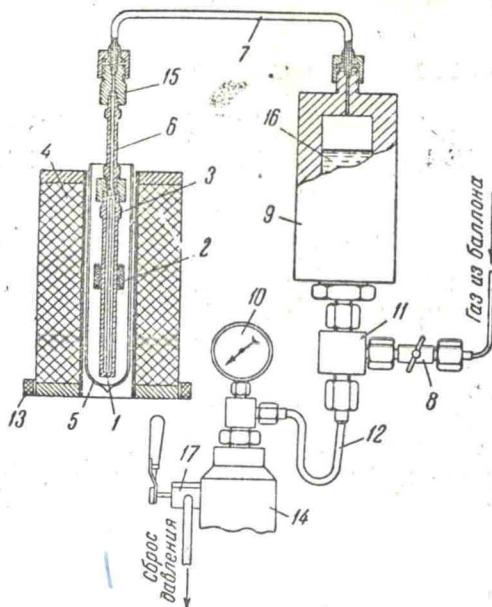


Рис. 1. Схема установки для исследования влияния всестороннего сжатия на намагничение насыщения при низких температурах.
1 — образец, 2 — измерительная катушка, 3 — камера сжатия из неферромагнитной бронзы БрАЖМ, 4 — намагничающая катушка, 5 — сосуд Дьюара, 6 — переходная трубка, 7 — трубка верхняя, 8 — вентиль газопуска, 9 — цилиндр поджимки, 10 — манометр, 11 — тройник, 12 — трубка нижняя, 13 — компенсирующая катушка, 14 — гидрокомпрессор, 15 — переходник, 16 — трансформаторное масло, 17 — вентиль

сторонне. Высокое давление в камере достигается уменьшением первоначального объема газа в полости установки при нагнетании гидрокомпрессором 14 трансформаторного масла 16 в цилиндр поджимки 9 по трубке 12. Камера с образцом и измерительной катушкой K_1 2, надетой на камеру **, погружена в дьюаров сосуд 5 с жидким азотом.

Принципиальная схема электроизмерительной части установки дана на рис. 2. Намагничающее поле H внутри намагничающего соленоида K_h создается постоянным током до $i_{\max} = 20$ амп; $H_{\max} = K_i \cdot i_{\max} = 2440$ эрст.

Измерительная цепь состоит из K_h , K_k , R_{sh} и ΦL (рис. 2). K_h и K_k включены навстречу друг другу для устранения помех, связанных с

* Образец отожжен в водороде при 1340°C в течение 15 мин., затем нагрет в вакууме до 900°C , после чего охлажден вместе с печью.

** В ⁽²⁾ измерительная катушка помещена внутрь камеры.

изменением поля при колебании светового зайчика. При изменении магнитного момента нити под действием главным образом «сползания» зайчика при обычной градуировкой флюксметра можно при этом поток меняется, с определенной скоростью, с -20 и -196°C используют измерительные катушки, соответственно, $n_1 = 3960$ и $n_2 = 1000$ ввиду того, что сопротивление в цепи флюксметра должно быть малым (< 30 ом) при большом количестве витков.

Величина исследуемой вычисляется по формуле:

$$\frac{1}{\psi_0} \frac{d\psi}{dp} \cong \frac{1}{\psi_0} \frac{\Delta\psi}{\Delta p} = \frac{c_\psi}{4\pi I_s S_{\text{обр}} n}$$

где $\psi_0 = 4\pi I_s S_{\text{обр}}$ максвелл, витков в K_h , α — отклонение метра в делениях, $\Delta p = 1$ мосфера).

Для исследуемого железа $I_s = 1690$ гаусс, $S_{\text{обр}} = 1$ см 2 . Из проведенных 22 изме-
дено $\left(\frac{\alpha}{\Delta p}\right)$; по нему, согл-

$$\left(\frac{1}{\psi_0} \frac{\Delta\psi}{\Delta p}\right)$$

и, наконец, согласно (1):

Сравним значение, по формуле для атомного металлов ⁽³⁾:

$$m = 2m_0$$

где $m_0 = n_d - 2$; n_d — число атомов. Для железа $n_d = 10^{22}$ атомов на расстояние между атомами

* Измерения проводятся вводится газ из баллона до дна камеры. Поджимка 9 нагнетается маслом. При выдержке для установления соленоида в сеть постоянного тока подается ток для создания поля. Ток в цепи R_{sh} компенсируется изменением тока в наружной обмотке вентиля 17 плавно. При этом давление падает пропорционально скорости можно пренебречь изменением магнитного потока через обмотку.